

پتروگرافی و ژئوشیمی ماسه‌سنگ‌های سازند سرخ بالایی در برش منطقه حسن‌آباد (جنوب‌غرب تهران)

خلیل رضایی^{*}، شهرام فروغی شادباد^۲ و احمد اسدی^۳

۱، ۲ و ۳- دانشکده علوم زمین، دانشگاه خوارزمی، تهران

نویسنده مسئول: khalil.rezaei@khu.ac.ir

دریافت: ۹۴/۱۱/۲۴ پذیرش: ۹۵/۳/۲۴

چکیده

تلفیق مطالعات پتروگرافی و داده‌های ژئوشیمیایی سنگ‌های رسوبی می‌تواند ماهیت ناحیه منشاء، موقعیت تکتونیکی حوضه‌های رسوبی و شرایط اقلیم قدیمه را آشکار نماید. با این هدف سازند آواری سرخ بالایی به سن الیگومن با رخنمونی به ضخامت ۲۲۰ متر در منطقه جنوب حسن‌آباد تهران مورد مطالعه قرار گرفت. با استفاده از مطالعه مقاطع نازک، دانه شماری و آنالیز ژئوشیمیایی عناصر اصلی و فرعی به بررسی دقیق این توالی پرداخته شد. برش موردنظر مطالعه از توالی مارن‌های با ننگ روشن و ماسه‌سنگ‌های لیت‌آرتیتی تشکیل شده است. شواهد دانه‌شماری ولکانیک‌لیت‌آرتیت بودن اغلب این ماسه‌سنگ‌ها را تثبیت کرد. بر اساس نتایج حاصل از تفسیر داده‌های ژئوشیمیایی، سنگ منشا فلزیک تا حد واسطه با ترکیب مشابه پوسته قاره‌ای، در چرخه اول رسوب‌گذاری با جایگاه زمین‌ساختی حواشی فعال قاره‌ای، دارای با توپوگرافی مرتفع و اقلیم گرم و خشک برای این ماسه‌سنگ‌ها پیشنهاد می‌شود.

واژه‌های کلیدی: سازند سرخ بالایی، ژئوشیمی، ماسه‌سنگ، پتروگرافی، حسن‌آباد

ابزاری موثر جهت شناخت فاکتورهای نامبرده، استفاده از

مقدمه

در پژوهش حاضر با استفاده از مطالعات دقیق میکروسکوپی و تفسیر داده‌های حاصل از آنالیز ژئوشیمیایی، سعی در شناسایی ویژگی‌های سازند سرخ بالایی در برشی به ضخامت ۲۲۰ متر، در نزدیکی حسن‌آباد در جنوب‌غرب تهران شده است.

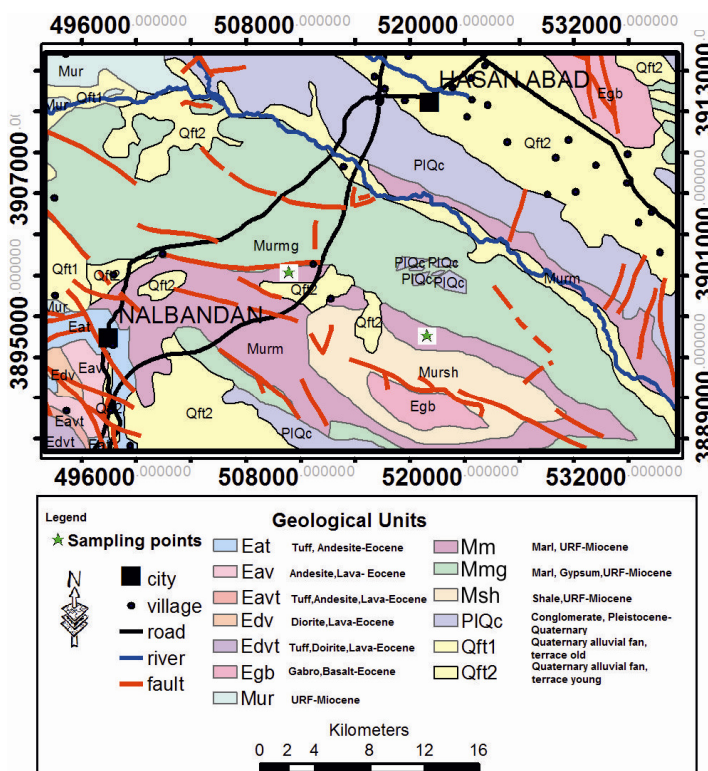
تلفیق مطالعات پتروگرافی و داده‌های ژئوشیمیایی سنگ‌های رسوبی می‌تواند ماهیت ناحیه منشاء، موقعیت تکتونیکی حوضه‌های رسوبی، و شرایط اقلیم قدیمه را آشکار نماید [۹، ۱۰]. مطالعه ماسه‌سنگ‌ها یکی از روش‌های معمول برای بررسی شرایط ناحیه منشاء از دیدگاه تکتونیکی و اقلیمی می‌باشد. انجام اینگونه مطالعات در نقاط مختلف می‌تواند نقش مهمی در تکمیل نقشه‌های جغرافیایی دیرینه در زمان خاص داشته باشد. بر اساس مطالعات امینی [۴]، محیط‌های رسوب‌گذاری رخساره‌های سازند قرمز بالایی، مخروط‌افکنه‌های با فراوانی جریان‌های خردیدار، سامانه رودخانه‌ای بریده بریده با برتری بار بستر شن و ماسه‌ای با دشت‌های سیلایی گستردۀ و دریاچه‌های کویری وسیع همراه با باتلائق‌های محلی تعیین شده است. فرون‌شینی مستمر بخش مرکزی حوضه (ایران مرکزی) همزمان با بالا آمدگی رشته‌کوه‌های حاشیه‌ای فضای لازم برای رسوب‌گذاری این مجموعه نسبتاً ضخیم را فراهم نموده است [۲]. علاوه بر مطالعات پتروگرافی، می‌توان از ترکیب ژئوشیمیایی کلی سنگ‌های رسوبی آواری به عنوان

موقعیت جغرافیایی و زمین‌شناسی

منطقه مورد مطالعه در حد فاصل بین حسن‌آباد و نعلبندان، در ۵۰ کیلومتری جنوب‌غرب تهران و حدود ۴۰ کیلومتری پلیس راه اتوبان تهران-قم به مختصات $۳۵^{\circ}۲۴'۸۶''$ تا $۳۵^{\circ}۲۵'۳۱''$ عرض شمالی قرار دارد (شکل ۱). این منطقه به لحاظ تقسیم‌بندی موقعیت زمین‌شناسی، در منتهی‌الیه شمالی زون ایران مرکزی و در مرز جنوبی البرز مرکزی و حوضه قم واقع است [۱]. سازند سرخ بالایی، متشکل از ماسه‌سنگ‌هایی با بلوغ بافتی و کانی‌شناسی بد، کنگلومراهای عدسی شکل با فراوانی قطعات سنگ‌های آذرین آتش‌فشاری و سنگ‌آهک و

مطالعات دیگری از این سازند با عنوانین لایه‌های سرخ قاعده‌ای نئوژن [۴۲]، سری ژیپس‌دار [۲۵]، و سری‌های سرخ میوسن [۱۶] نام برده شده است. به طور کلی سازند سرخ بالایی به دو زیر واحد پایینی و بالایی تقسیم می‌شود [۱] که بر اساس شواهد موجود (مارن‌های زرد و قرمز روشن با میان‌لایه‌هایی از ماسه‌سنگ‌های نرم)، رخمنون مورد مطالعه بخشی از زیر واحد بالایی (عضو بالایی M3) می‌باشد.

گلسنگ‌های حاوی کانی‌های تبخیری و میان‌لایه‌هایی از ژیپس و مارن است که رخمنون وسیعی در ایران مرکزی و بخش‌هایی از دامنه جنوبی البرز دارند [۲]. توصیف سنگ‌شناسی این مجموعه نخستین بار توسط سودر [۴۱] با عنوان گروه سرخ بالایی انجام گرفت. عنوان سازند سرخ بالایی نیز نخستین بار توسط گانسر [۲۰] به دلیل موقعیت این سازند بر روی سازند قم پیشنهاد شد و در چهارمین کنگره جهانی نفت پذیرفته شد. هم‌چنین در



شکل ۱. نقشه زمین‌شناسی منطقه مورد مطالعه و نقاط نمونه‌برداری (برگرفته شده از نقشه ۱/۱۰۰۰۰۰ زمین‌شناسی ایران). نقاط نمونه برداری با ستاره مشخص شده‌اند.

دانه‌شماری و استفاده از نمودار فولک [۱۸]، نمونه‌ها نام‌گذاری شدند. جهت انجام تفاسیر ژئوشیمیایی نیز ۱۵ نمونه انتخابی در قالب ۵ گروه سه‌تایی به آزمایشگاه‌های شرکت کانساران بینالود تحویل گردید و آزمایش XRF با دستگاه فیلیپس ۱۴۸۰ بر روی نمونه‌ها انجام شد. پس از تهیه پودر و گذر از مشن ۲۰۰، آمده‌سازی نمونه‌ها به روش پرسی و ذوبی (برای تعیین LOI) بوده است. دقت اندازه‌گیری برای اکسیدهای اصلی (Al_2O_3 , SiO_2 , CaO , Fe_2O_3 , K_2O , Na_2O , MgO) و برای اکسیدهای P_2O_5 , MnO و TiO_2 0.001 و برای عناصر فرعی 1 mg/kg می‌باشد.

روش مطالعه

پس از یک بازدید کلی از منطقه مورد مطالعه و انتخاب یک برش کامل، نمونه‌برداری از سطوح تازه‌ی رخمنون مورد مطالعه، عمود بر امتداد لایه‌ها و از جنوب شرق به شمال غرب (در امتداد $N 330^\circ$) انجام گردید (شکل ۲، A). در این توالی از هر لایه تعداد سه نمونه با سطح تازه برداشت شد. به منظور انجام مطالعات میکروسکوپی، در مجموع ۳۰ مقطع نازک تهیه گردید. هم‌چنین از روش گزی-دیکینسون [۲۳] برای آنالیز نقطه‌شماری استفاده شد. بر اساس شواهد پتروگرافی، داده‌های حاصل از

لایه‌های نازک ژیپسی بوده و در برخی نقاط به و مادستون‌های نازک لایه تبدیل شده‌اند. بررسی‌ها بر روی این مارن‌ها حاکی از تهنشینی آن‌ها در دشت سیالابی رودخانه‌های مثاندری می‌باشد [۴].

رخساره ماسه‌سنگی

یکنواختی قابل توجهی در ماسه‌سنگ‌های رخنمون مورد بررسی وجود دارد. این ماسه‌سنگ‌ها از اجزای مختلفی تشکیل شده‌اند. کوارتز مونوکریستالین (پلوتونیکی و رسوبی) با فراوانی ۹ تا ۱۶ درصد، کوارتز پلی‌کریستالین (دگرگونی تبلور مجدد، دگرگونی شیستوز و دگرگونی کشیده شده) با فراوانی ۱ تا ۴ درصد، فلذیات (ارتولکلاز و پلازیوکلاز) با فراوانی ۲ تا ۱۱ درصد، خرده‌سنگ‌های رسوبی (چرتی، ماسه‌ای و سیلتستونی) به میزان ۱۴ تا ۴۶ درصد، خرده‌سنگ‌های ولکانیکی با فراوانی ۲۳ تا ۴۰ درصد و خرده‌سنگ‌های دگرگونی (شیستی و اسلیتی) با فراوانی ۲ تا ۱۲ درصد در این ماسه‌سنگ‌ها موجودند. کانی‌های سنگین اپک با فراوانی ۰ تا ۲۰ درصد و میکاهای به مقدار ۱ تا ۷ درصد در نمونه‌های مورد مطالعه دیده می‌شوند. کانی‌های پیروکسن و تورمالین هوازده به میزان کمتر از ۱ درصد در برخی نمونه‌ها قابل مشاهده هستند. سیمان این ماسه‌سنگ‌ها به ترتیب اهمیت از اکسید آهن، کلسیت و سیلیس تشکیل شده است (شکل ۲، C و F).

تفسیر: بر مبنای طبقه‌بندی فولک [۱۸] این سنگ‌ها در گروه لیترانایت‌ها (ولکانیک‌لیت‌آرنایت‌ها) قرار می‌گیرند (شکل ۳). نتایج حاصل از دانه‌شماری و استفاده از نمودار پیشنهادی فولک [۱۸] گویای این امر می‌باشد (شکل ۳). این رخساره را ماسه‌سنگ‌های با گردش‌گی و جورش‌گی خوب تا متوسط تشکیل می‌دهند که عموماً رنگ قرمز داشته و دارای فابریک فشرده هستند. وجود ماسه‌سنگ‌های با جورش‌گی خوب نشان از تشکیل این رخساره در یک محیط با انرژی بالاست [۴۴]. این ماسه‌سنگ‌ها دارای لامیناسیون موازی تا کمی زاویدار (شکل ۲، B) بوده و از تناوب ماسه‌سنگ‌های موازی در اندازه دانه درشت تشکیل شده‌اند. لامینه‌های موازی در اندازه ماسه‌ریز تا درشت‌دانه، نشان‌دهنده تشکیل این ساخت‌ها در اثر حمل و نقل بار بستر در سرعت‌های مختلف است [۴۴]. به طوری که ماسه‌سنگ‌های درشت‌دانه در

پتروگرافی و سنگ‌چینه‌شناسی

مطالعات پتروگرافی و رخساره‌های سیلیسی آواری حائز اهمیت هستند، چرا که این خساره‌ها توسط آن دسته از فرایندهای رسوبی کنترل می‌شوند که در مناطق خاصی از محیط رسوب‌گذاری عمل می‌کنند [۲۹]. مهم‌ترین ویژگی سنگ‌های رسوبی که در شناسایی و طبقه‌بندی آن‌ها مورد استفاده قرار می‌گیرد، اندازه قطعات و جنس ذرات تشکیل‌دهنده آن‌ها است که تحت عنوان ترکیب کائی‌شناسی سنگ‌های رسوبی مورد بررسی قرار می‌گیرد [۴۴].

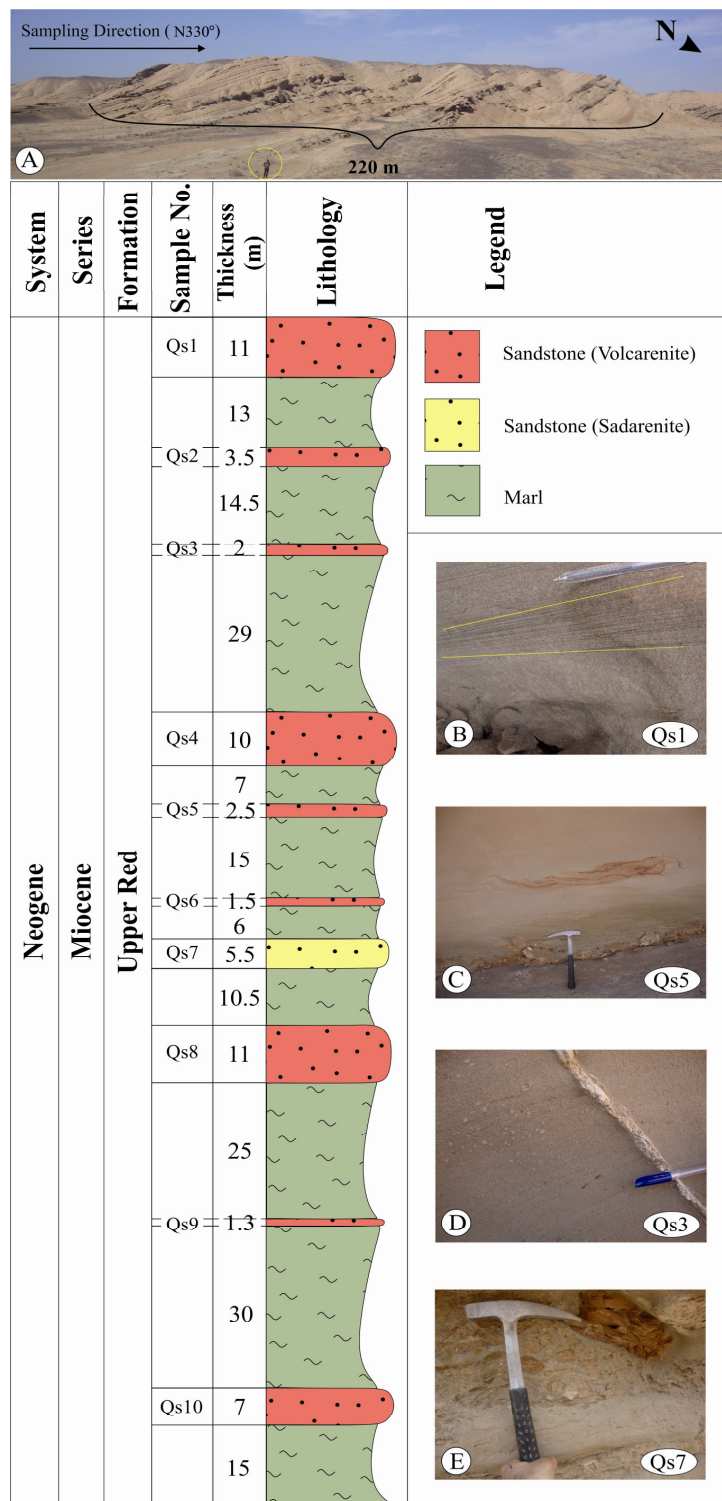
ضخامت رخنمون مورد مطالعه حدود ۲۲۰ متر می‌باشد که از توالی منظم مارن و ۱۰ لایه ماسه‌سنگی تشکیل شده است (شکل ۲، A). در محل نمونه‌برداری امتداد عمومی لایه‌های ماسه‌سنگی بین N75E تا N65E و شیب عمومی آن‌ها بین ۳۶NW تا ۳۹NW در تغییر است. سنگ‌های توالی مورد مطالعه از ماسه‌سنگ (لیت‌آرنایت)، تشکیل شده‌اند. ساختهای رسوبی متعددی در این ماسه‌سنگ‌ها دیده می‌شود که تقریباً همگی موید محیط رسوبی رودخانه‌ای می‌باشند [۲]. اشکال مدور و توپی شکل گلی (شکل ۲، E) مشاهده شده در ماسه‌سنگ‌ها با شکل سه‌بعدی صفحه‌ای، می‌تواند نمایانگر قطعات کنده شده از گف بستر گلی رودخانه و رسوب‌گذاری مجدد آن‌ها به همراه رسوبات ماسه‌ای در جریان بعدی باشد. میان لایه‌های رسوبات سنگی، مارن‌هایی با رنگ روشن هستند که درصد آهک بالایی دارند. ضخامت میان لایه‌های مارنی نسبت به لایه‌های سنگی بیشتر بوده و حجم بالایی از ستون چینه‌شناسی را به خود اختصاص داده‌اند. هم‌چنین رگه‌های پر شده توسط کانی ژیپس در ماسه‌سنگ‌ها مشاهده می‌شوند که ثانویه بوده و منشایی خارج حوضه دارند (شکل ۲، C).

رخساره مارنی

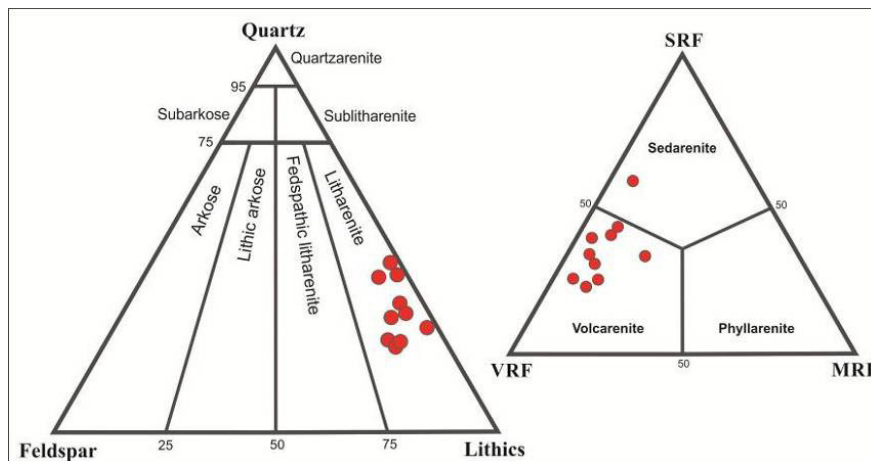
مارن‌ها (سنگ یا خاک) از نهشته‌های رسوبی هستند که به طور کلی از کانی‌های رسی و کربنات کلسیم با نسبت‌های مختلف (معمولًا بین ۳۵-۶۵٪) تشکیل شده‌اند [۲۲]. در رخنمون مورد مطالعه از سازند سرخ بالایی، رسوبات مارنی به رنگ قرمز و کرم تا خاکستری روشن قابل مشاهده هستند و دچار فرسایش شدیدی شده‌اند. این رسوبات تا حد قابل ملاحظه‌ای دارای میان

میکریتی گرد شده و سیمان کلسیتی ریز بلور می‌تواند مربوط به سازند قم باشد.

سرعت‌های پابین آب و ماسه‌سنگ‌های ریز دانه در سرعت بالای جریان آب بر جای گذاشته می‌شوند [۲۸، ۳۵، ۳۷]. منشا خرده‌های زیستی، اکسٹراکلست‌های



شکل ۲. (A) ستون چینه‌شناسی و رخنمون مورد مطالعه در جنوب حسن‌آباد (بخشی از اعضا بالای M3) (دید به جنوب‌غرب)، (B) نمایش لامیناسیون مورب گوهای توسط تجمع رسوبات اکسید آهن، (C) ماسه‌سنگ آهن‌دار، (D) رگه پر شده با تبخیری ژپس، (E) نودول‌های گلی در رسوبات ماسه‌ای



شکل ۳. داده‌های حاصل از نقطه‌شماری مقاطع نازک در دسته‌های سه‌تایی در نمودارهای سه بعدی فولک [۱۸] که ترکیبات لیت‌آرنایت (به طور غالب ولکانیک‌لیت‌آرنایت و یک نمونه سدآرنایت) را برای ماسه‌سنگ‌های سازند سرخ بالایی نمایش می‌دهند.

عناصر فرعی (در مقایسه با گوشه‌های پوسته و پوسته اقیانوسی) مشابهت بیشتری به پوسته قاره‌ای تحتانی و فوکانی دارند و ترکیب حد وسط بین این دو را نشان می‌دهند (جدول ۴)، [۴۷]. میزان نسبتاً بالای CaO (۱۱/۷۲٪) این ماسه‌سنگ‌ها می‌تواند به دلیل وجود خرددهای رسوبی میکریت آهکی و سیمان آهکی باشد. همچنین کم بودن مقدار SO_3 (با متوسط ۰/۰۱٪) به دست آمده از آنالیز شیمیایی نمونه‌ها (جدول ۳) موید این است که ژیپس و سایر ترکیبات سولفاته در متن ماسه‌سنگ‌ها حضور نداشته و دارای منشا خارج از حوضه هستند.

طبقه‌بندی ژئوشیمیایی و ترکیب سنگ‌شناسی
طبقه‌بندی ژئوشیمیایی رسوبات ماسه‌سنگی روشنی است که برای تایید و تکمیل نتایج مطالعات پتروگرافی انجام می‌شود. در طبقه‌بندی‌های ژئوشیمیایی ارائه شده برای ماسه‌سنگ‌ها توسط محقق مختلف اکسیدهایی مانند SiO_2 و نسبت‌هایی مانند $\text{SiO}_2/\text{Al}_2\text{O}_3$ از پرکاربردترین ویژگی‌های مورد استفاده هستند [۱۲، ۱۳، ۲۲ و ۳۴]. طبق مطالعات هرون [۲۲] استفاده از مقایسه روند افزایشی لگاریتم نسبت اکسیدهای $\text{Fe}_2\text{O}_3/\text{K}_2\text{O}$ و $\text{SiO}_2/\text{Al}_2\text{O}_3$ می‌تواند در تعیین ترکیب سنگ‌شناسی نمونه‌ها با استفاده از داده‌های ژئوشیمیایی مفید باشد. استفاده از نمودار پیشنهادی وی [۲۲]، ترکیبات لیت‌آرنایت و ماسه آهن‌دار را برای نمونه‌های مورد مطالعه پیشنهاد می‌کند (شکل ۵، a). به نظر می‌رسد حضور سیمان همایتی غالب در برخی نمونه‌ها، موجب

ژئوشیمی
ترکیب شیمیایی رسوبات آواری می‌تواند متاثر از عواملی مانند ویژگی‌های سنگ منشا، هوازدگی شیمیایی، فرایندهای جورش‌گی حین حمل، نحوه رسوب‌گذاری و شرایط دیاژنز پسانهشتی باشد [۳۲]. با این وجود، باور بر این است که بعضی عناصر غیر متحرک مانند Y, Sc, Th, Zr, Hf, Cr, Co مفیدی برای فرایندهای زمین‌شناسی، منشا و جایگاه تکتونیکی هستند [۴۳ و ۱۰/۲۶]. بنابراین ژئوشیمی رسوبات آواری می‌تواند به نحو موثری در درک جایگاه تکتونیکی و منشا آن‌ها به کار رود [۹ و ۳۷]. بر این اساس، بسیاری از مطالعات ژئوشیمیایی اخیر بر روی ماسه‌سنگ‌ها و شیل‌ها و برای بررسی منشا و تکامل تکتونیکی حوضه‌های رسوبی متمرکز شده‌اند [۶].

عناصر اصلی و فرعی

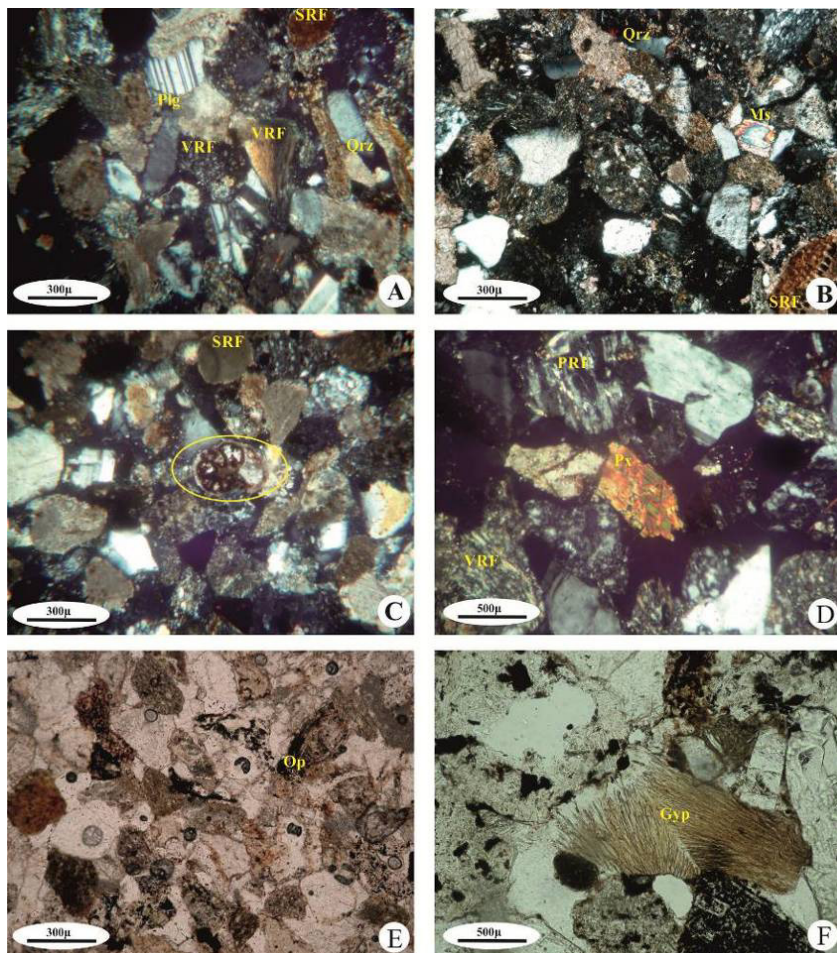
عناصر اصلی، فرعی و ناچیز متمرکز در ماسه‌سنگ‌های سازند سرخ بالایی در رخنمون مورد بررسی در پنج دسته سه‌تایی و به ترتیب توالی در ستون چینه‌شناسی مرتب شده‌اند (جدول ۳). در کل می‌توان گفت ترکیبات ژئوشیمی نمونه‌های رسوبی برگرفته شده از سازند سرخ بالایی در رخنمون مورد مطالعه، تنوع بسیار گسترده‌ای را نشان می‌دهند (جدول ۳). در رسوبات مورد مطالعه، SiO_2 با درصد وزنی متوسط ۵۳/۶٪، بسیار مشابه مقدار متوسط پیشنهاد شده برای پوسته قاره‌ای تحتانی (LCC) می‌باشد [۴۳، ۳۹]. سایر اکسیدهای عناصر اصلی و حتی

می‌دهد (شکل ۵، b). با توجه به این که بر اساس مطالعات میکروسکوپی و به کارگیری داده‌های حاصل از نقطه‌شماری (جدول ۲) در نمودار فولک [۱۸]، ماسه‌سنگ‌های مورد مطالعه از نوع لیت‌آرنایت هستند، می‌توان گفت نتایج دو روش پتروگرافی و طبقه‌بندی رئوژیمیایی همدیگر را تایید کرده و همپوشانی دارند.

قرارگیری آن‌ها در محدوده ماسه آهن‌دار در این نمودار شده است. استفاده از مقایسه روند افزایشی لگاریتم نسبت اکسیدهای $\text{Na}_2\text{O}/\text{K}_2\text{O}$ و $\text{SiO}_2/\text{Al}_2\text{O}_3$ روشن است که پتی جان [۳۴] برای تعیین ترکیب سنگ‌شناسی نمونه‌ها مفید می‌داند. نمودار پیشنهادی وی، ترکیب لیت‌آرنایتی را برای نمونه‌های سازند سرخ بالایی نشان

جدول ۱. شرح مخفف کلمات مورد استفاده در جدول ۲

Qt	کوارتز کل	Ch	چرت
Qse	کوارتز یا خاموشی مستقیم	F	انواع قلل‌سیات‌ها
Qoe	کوارتز یا خاموشی موجی	Rf	خرده‌های سنگی
Qmq	کوارتز نک‌بلوری	SRF	خرده سنگ رسوبی
Qpq	کوارتز چند‌بلوری	MRF	خرده سنگ دگرگونی
Qpq2-3	کوارتز یا ۲ تا ۳ بلور	VRF	خرده سنگ آذرین
Qpq>3	کوارتز یا بیش از ۳ بلور	Op	کانی‌های ایک



شکل ۴. رخساره‌های لیت‌آرنایتی و اجزای تشکیل دهنده آنها؛ (A) سدآرنایت (Qs7)، (B) و (C) و (D) وکانیک آرنایت (Qs2,6,10)، (E) و (F) نمایش سیمان همایتی و کانی‌های اپک در لیت‌آرنایت‌ها (Qs4,6). Plg: فلدسپات پلازیوکلаз، SRF: خرده سنگ رسوبی، VRF: خرده سنگ آذرین بیرونی، PRF: خرده سنگ آذرین درونی، Ms: کانی کوارتز، Quz: کانی مسکوویت، PX: کانی پیروکسن، Op: کانی‌های اپک اکسید آهن، Gyp: کانی ژپس

جدول ۲. داده‌های حاصل از دانه‌شماری ۳۰ نمونه مقطع نازک از نمونه‌های ماسه‌سنگی سازند سرخ بالایی در قالب ۱۰ دسته سه‌تایی به روش گزی و دیکیتیسون [۲۳]

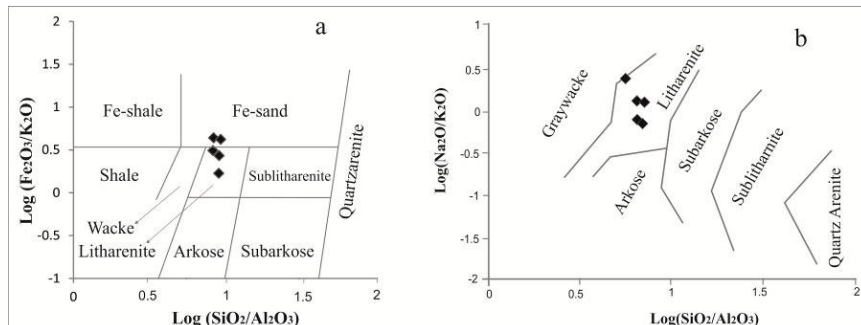
Sample.No	Qt	Qmp	Qpq	Qse	Qoe	Qpq2-3	Qpq>3	F	Rf	SRF	MRF	VRF	Ch	Op
Qs1	20	9	1	7.6	2.4	0.8	0.2	11	55	22	5	28	14	0
Qs2	20	9	1	7.6	2.4	0.7	0.3	11	56	14	7	35	13	0
Qs3	20	9	1	7.6	2.4	0.5	0.5	12	54	18	12	24	15	0
Qs4	25	11.25	1.25	10.625	1.875	0.85	0.4	1	64	37	4	23	9	5
Qs5	40	18	2	17	3	0.4	0.6	7	52	13	3	36	1	5
Qs6	30	12	3	12.75	2.25	1.1	1.9	5	60	14	6	40	5	10
Qs7	30	13.5	1.5	12.75	2.25	1.1	0.4	5	56	22	2	32	9	7
Qs8	40	18	2	17	3	0.3	1.7	3	49	15	4	30	8	10
Qs9	35	15.75	1.75	14.875	2.625	0.55	1.2	2	46	15	3	28	17	8
Qs10	25	8.75	3.75	8.125	4.375	2.3	1.45	8	52	22	5	25	15	20

جدول ۳. داده‌های حاصل از آنالیز ژئوشیمیایی ۱۵ نمونه ماسه‌سنگ‌های سازند سرخ بالایی در قالب ۵ دسته سه‌تایی (جهت تسهیل و تسریع در مقایسه، سه نمونه از هر لایه در قالب یک دسته ارائه شده‌اند). عناصر اصلی بر حسب درصد و عناصر فرعی بر حسب بخش در میلیون (ppm) ارائه شده‌اند.

Sample	QS1	QS2	QS3	QS4	QS5
SiO ₂	52.49	54.12	55.31	52.87	53.21
Al ₂ O ₃	12.67	14.71	13.26	11.98	11.86
Fe ₂ O ₃	4.88	4.11	4.8	3.51	4.98
CaO	12.39	10.2	10.34	13.79	11.9
Na ₂ O	2.43	2.03	2.96	2.66	2.98
K ₂ O	1.57	1.6	1.1	1.3	1.19
MgO	1.24	1.52	1.03	1.14	1.37
TiO ₂	0.502	0.402	0.437	0.551	0.478
MnO	0.096	0.11	0.1	0.118	0.1
P ₂ O ₅	0.066	0.064	0.055	0.064	0.064
SO ₃	0.006	0.017	0.031	0.008	0.022
L.O.I	11.3	11.081	10.28	11.75	11.48
Cl	83	107	83	164	163
Ba	390	391	462	374	389
Sr	289	318	272	446	325
Cu	61	56	52	50	58
Zn	91	85	89	78	93
Pb	18	32	328	20	33
Ni	55	45	54	50	58
Cr	31	30	32	16	29
V	89	82	89	80	88
Ce	57	42	34	54	57
La	23	19	14	21	23
W	2	1	1	1	1
Zr	143	151	116	167	139
Y	24	22	25	25	24
Rb	56	50	52	52	49
Co	8	8	5	11	7
As	97	26	26	5	13
U	2	2	5	1	1
Th	4	3	9	2	4
Mo	2	2	2	1	4
Ga	17	16	17	13	13
Nb	7	4	4	3	3

جدول ۴. مقایسه مقادیر عناصر اصلی و فرعی ماسه‌سنگ‌های سازند سرخ بالایی با مقادیر مشابه در پوسته قاره‌ای فوکانی، پوسته قاره‌ای تحتانی، پوسته اقیانوسی و گوشته [۴۷]. نمونه‌های مورد مطالعه دارای ترکیب شیمیایی حد واسط بین پوسته قاره‌ای فوکانی و پوسته قاره‌ای تحتانی می‌باشند.

	M Condie (1997) (%)	M Taylor and Mclenan (1985)	OC Condie (1997)	OC Taylor and Mclenan (1985)	ucc Taylor and McLennan (1985)	ucc Ronv and Yaroshevky (1969)	LCC Taylor and McLennan (1985)	LCC Rudnick and Fountain (1995)	Samples
SiO ₂	43.6	49.9	50.5	49.5	66	65.2	54.4	52.3	53.6
TiO ₂	0.134	0.16	1.6	1.5	0.5	0.6	1	0.8	0.474
Al ₂ O ₃	1.18	3.64	15.3	16	15.2	15.6	16.1	16.6	12.89
Fe ₂ O ₃						2.1			4.456
FeO	8.22	8			4.5	2.8			
T.FeO			10.4	10.5			10.6	8.4	
MnO					0.1	0.1			0.1046
MgO	45.2	35.1	7.6	7.7	2.2	2.3	6.3	7.1	1.26
CaO	1.13	2.89	11.3	11.3	4.2	4.7	8.5	9.4	11.724
Na ₂ O	0.02	0.34	2.7	2.8	3.9	3.1	2.8	2.6	2.612
K ₂ O	0.008	0.02	0.2	0.15	3.4	3.3	0.34	0.6	1.356
P ₂ O ₅						0.2			0.0626
	Condie (1997) (ppm)	Taylor and Mclenan (1985)			Taylor and McLennan (1985)	Wedepohl (1995)	Taylor and McLennan (1985)	Rudnick and Fountain (1995)	
Rb	0.12	0.55			112	110	53	11	51.8
Sr	13.8	17.8			350	316	230	348	330
Y	2.7	3.4			22	20.7	19	16	24
Zr	9.4	8.3			190	237	70	68	143.2
Nb	0.33	0.56			25	26	6	5	4.2
Cs		18			3.7	5.8	0.1	0.3	
Ba		5100			550	668	150	259	401.2
La	330	551			30	32.3	11	8	20
Pb		120			20	17	4	4.2	86.2
Th	18	64			10.7	10.3	1.06	1.2	4.4
U	3	18			2.8	2.5	0.28	0.2	2.2



شکل ۵. (a)، نمودار دو بعدی پیشنهادی هرون [۲۲]، نمونه‌های مورد مطالعه به ترتیب اکثریت در محدوده‌های لیت‌آرنايت تا ماسه آهن‌دار این نمودار قرار می‌گیرند. (b)، نمودار دو بعدی پتی جان [۳۴]، در این نمودار نمونه‌های سازند سرخ بالایی در محدوده لیت‌آرنايت قرار می‌گیرند.

بیانگر اشتراق رسوبات نمونه‌های مورد مطالعه از منابع گرانیتی پوسته می‌باشد.

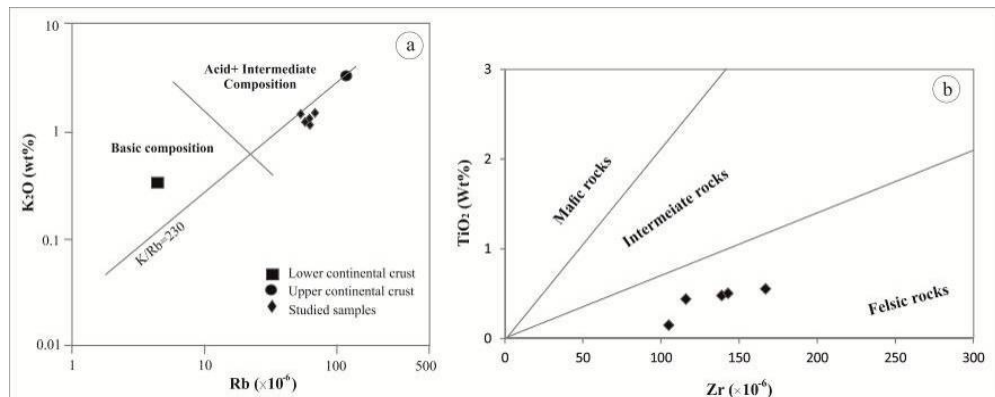
با استفاده از نمودار تفکیکی روسر و کورش [۳۸] می‌توان سنگ مادر را بر پایه اکسیدهای اصلی، در نمونه‌های ماسه‌سنگی و گل‌سنگی تعیین نمود [۳]. همچنین روسر و کورش [۳۸] با هدف جلوگیری از تاثیر Ca و Si بیوژنیک، نمودار تفکیکی دیگری را بر اساس نسبت اکسیدهای MgO, Fe₂O₃, TiO₂, Na₂O و K₂O با توابع ترکیبی زیر معرفی نموده‌اند [۳].

سنگ منشا

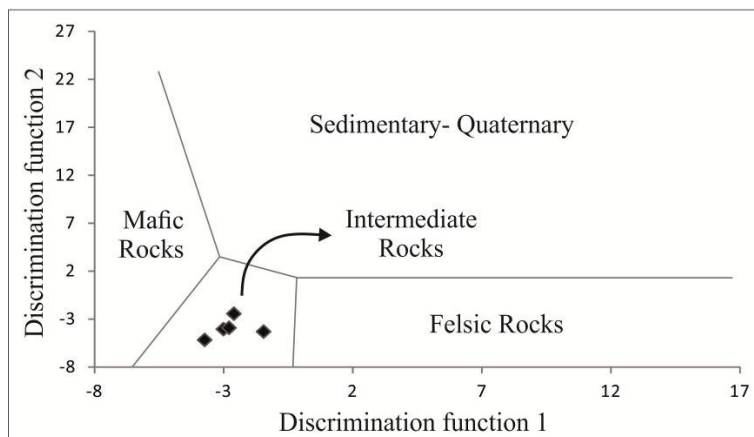
همان‌گونه که در نمودارهای دو بعدی پیشنهادی شاو [۴۰] و هایاشی و همکاران [۲۱] نمایش داده شده است (شکل ۶، a و b)، سنگ منشا نمونه‌های سازند سرخ بالایی به احتمال قوی ترکیبی فلزیک و مشابه با ترکیب پوسته قاره‌ای فوکانی (UCC) دارند. همچنین بالا بودن مقدار نسبت SiO₂/Al₂O₃ (۴/۱۷) در مقایسه با مقادیر مشابه قسمت فوکانی پوسته قاره‌ای (UCC) [۴۳]

بر اساس این نمودار پیشنهادی، ماسه‌سنگ‌های سازند سرخ بالایی در محدوده‌ای با سنگ منشا آذرین حد واسط قرار می‌گیرند (شکل ۷).

Discrimination function 1 = $30.638 \text{ TiO}_2/\text{Al}_2\text{O}_3 - 12.541 \text{ Fe}_2\text{O}_3 (\text{t})/\text{Al}_2\text{O}_3 + 7.329 \text{ MgO}/\text{Al}_2\text{O}_3 + 12.031 \text{ Na}_2\text{O}/\text{Al}_2\text{O}_3 + 35.402 \text{ K}_2\text{O}/\text{Al}_2\text{O}_3 - 6.382$
 Discrimination function 2 = $56.500 \text{ TiO}_2/\text{Al}_2\text{O}_3 - 10.879 \text{ Fe}_2\text{O}_3 (\text{t})/\text{Al}_2\text{O}_3 + 30.875 \text{ MgO}/\text{Al}_2\text{O}_3 - 5.404 \text{ Na}_2\text{O}/\text{Al}_2\text{O}_3 + 11.112 \text{ K}_2\text{O}/\text{Al}_2\text{O}_3 - 3.89$



شکل ۶. نمودارهای دو بعدی (a)، پیشنهادی شاو [۲۰] و (b)، پیشنهادی هیاشی و همکاران [۲۱] برای تشخیص ترکیب سنگ منشا رسوبات آواری. بر اساس این نمودارها به ترتیب سنگ‌های با منشا اسیدی تا حد واسط (بیشتر متمایل به اسیدی) و فلزیک برای رسوبات مورد مطالعه سازند سرخ بالایی پیشنهاد می‌شود که به نمونه‌های پوسته قاره‌ای فوکانی (UCC)، [۴۲]، نزدیکی پیش‌تری دارند.



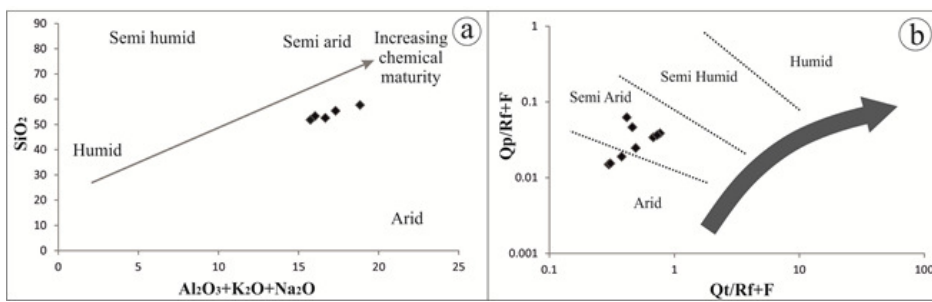
شکل ۷. نمودار تفکیکی روسروکوش [۳۸]، ترکیب حد واسط را برای سنگ منشا رسوبات سازند سرخ بالایی پیشنهاد می‌دهد.

(برجستگی) است. در سیستم‌های رسوبی قدیمه میزان Cr و Zr بر پایه نمودار ولتیج [۴۶] محاسبه می‌شود که از طریق آن می‌توان رابطه روشین بین ترکیب ماسه‌سنگ‌ها، ضریب هوازدگی و نوع سنگ منشا برقرار کرد. با به کارگیری داده‌های حاصل از دانه‌شماری در این نمودار پیشنهادی (شکل ۹)، محدوده نمایش داده شده برای نمونه‌های سازند سرخ بالایی نشان‌دهنده ناحیه با توپوگرافی مرتفع و کوهستانی و آب و هوای خشک تا نیمه‌خشک (با توجه به حجم ژیپس موجود) است.

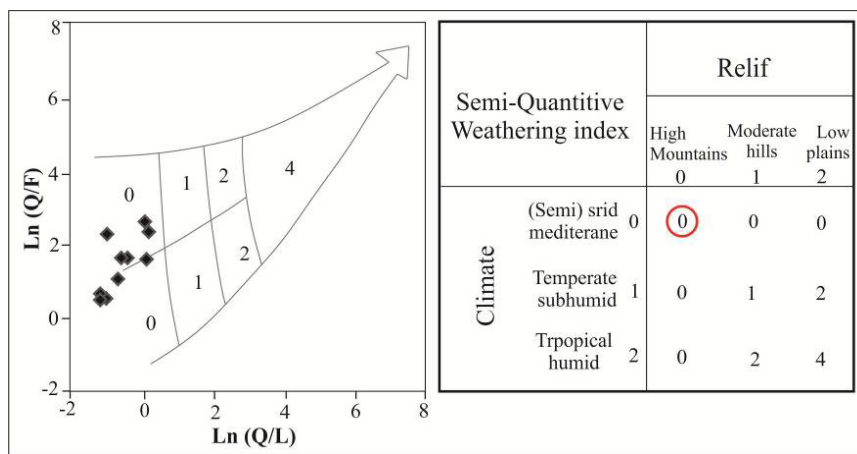
اقلیم و هوازدگی سنگ منشا
 داده‌های حاصل از تجزیه مودال ماسه‌سنگ‌های سازند سرخ بالایی بر روی نمودار پیشنهادی ساتنر و دوتا [۴۲] نشان دهنده حاکمیت شرایط آب و هوایی نیمه خشک تا خشک حین هوازدگی سنگ منشا و نهشت این ماسه‌سنگ‌ها است (شکل ۸). گراندام [۱۹] ضریب هوازدگی (W_i) را برای سنگ‌های سیلیسی آواری به $W_i = Cr$ صورت زیر تعریف می‌کند:

$$W_i = Cr / (Cr + Al + SiO_2)$$

 در این رابطه Cr سرعت و نرخ هوازدگی (آب و هوای) و r مدت زمان اقامت رسوبات در این شرایط هوازدگی



شکل ۸. نمودارهای دو بعدی پیشنهادی ساتنر و دوتا [۴۲]؛ (a) بر اساس اکسیدهای عناصر اصلی و (b) بر اساس داده‌های حاصل از دانه‌شماری. هر دو نمودار بیانگر حاکمیت آب و هوای نیمه خشک و تا حدودی خشک تا حدوی تشکیل رسوبات سازند سرخ بالایی هستند.



شکل ۹. نمودار لگاریتمی پیشنهادی ولتیج [۴۶] بر اساس داده‌های حاصل از شماره دانه‌های کوارتز، فلدسپات‌ها و خرددهای سنگی. محدوده مشخص شده برای نمونه‌های سازند سرخ بالایی بیانگر خاستگاه با توپوگرافی مرتفع و کوهستانی و آب و هوای نیمه خشک تا مدیترانه‌ای است.

در محیط فعلی تکتونیکی در چرخه اول رسوب‌گذاری است که از بلوغ نسبتاً پایینی برخوردارند.

جایگاه زمین‌ساختی

مفید بودن بررسی ژئوشیمیایی عناصر اصلی و جزئی سنگ‌های رسوبی، با استفاده از نمودارهای تفکیکی، برای استنتاج جایگاه زمین‌ساختی توسط محققین مختلفی شرح داده شده است [۹، ۳۷]. در این نمودارهای دو بعدی و سه بعدی از مقایسه مقادیر اکسیدهای و عناصر اصلی و جزئی رایج و نیز نسبت‌های بین آن‌ها و توابع تفکیک کننده استفاده می‌شود. ژئوشیمی سنگ‌های رسوبی، بازتاب تلفیقی از طبیعت سنگ منشا، شدت و دوام هوازدگی، چرخه رسوبی، دیاژنر و حفظشدنگی است [۵ و ۲۶]. علاوه بر این، جایگاه‌های زمین‌ساختی مشخص و مشابه، الزاماً سنگ‌هایی با مشخصات ژئوشیمیایی یکسان ایجاد نمی‌کنند [۸]. هم‌چنین ممکن است رسوبات از یک حوضه با جایگاه زمین‌ساختی متفاوت به

بلوغ و چرخه رسوبی

کمیت و کیفیت چرخه رسوبی بر بلوغ بافتی و بلوغ کانی‌شناسی رسوبات اثر می‌گذارد و می‌تواند در قالب شیمی رسوبات ثبت گردد. شاخص^۱ ICV برای تعیین بلوغ و چرخه رسوبی شیل‌ها و ماسه‌سنگ‌ها به کار می‌رود [۱۳] و از رابطه زیر به دست می‌آید.

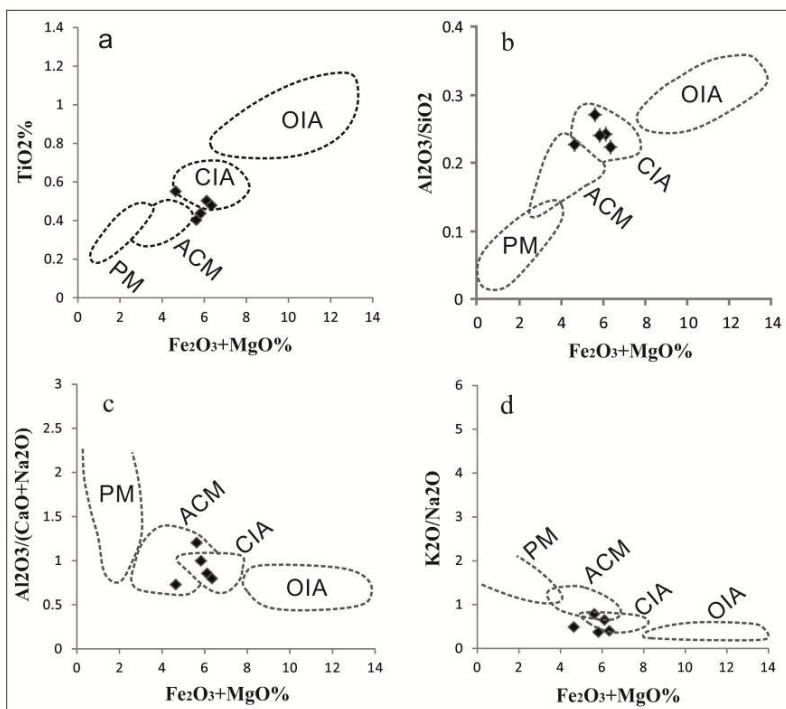
$$\text{ICV} = \frac{\text{Fe}_2\text{O}_3 + \text{K}_2\text{O} + \text{Na}_2\text{O} + \text{CaO} + \text{MgO} + \text{MnO} + \text{TiO}_2}{\text{Al}_2\text{O}_3}$$

اگر مقدار این شاخص بیشتر از یک باشد نمایانگر رسوباتی با عدم بلوغ ترکیب کانی‌شناسی است که در چرخه اول رسوب‌گذاری در محیط‌های فعلی تکتونیکی اتفاق می‌افتد. از طرف دیگر شاخص کمتر از یک بیانگر رسوباتی با بلوغ ترکیبی بالا می‌باشد که در محیط‌های ساکن تکتونیکی یا کراتونی با باز چرخش رسوبی فعلی قرار دارند. مقدار متوسط این شاخص برای نمونه‌های مورد مطالعه ۰/۷۲۲ می‌باشد که بیانگر تشکیل رسوبات

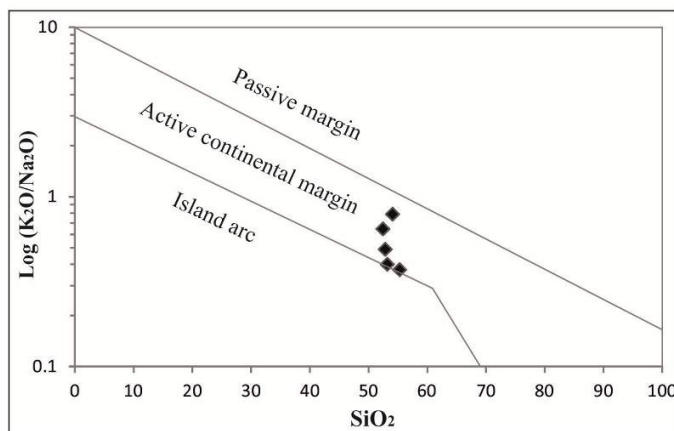
^۱ Index of Compositional Variability

با استفاده از نمودارهای تفکیکی باتیا [۹] برای تعیین جایگاه زمین‌ساختی ماسه‌سنگ‌های سازند سرخ بالایی، جزایر کمانی قاره‌ای تا حواشی فعال قاره‌ای برای این رسوبات پیشنهاد می‌شود (شکل ۱۰). نمودار پیشنهادی روسرب نیز این امر را تایید کرده و حواشی فعال قاره‌ای را محتمل‌تر نشان می‌دهد (شکل ۱۱).

حوضه‌ای با جایگاه زمین‌ساختی دیگری منتقل شده باشد. لذا داشتمدنی نیز به مشکلات استفاده از ژئوشیمی در تفسیر جایگاه زمین‌ساختی اشاره دارد [۳۰ و ۳۲]. با وجود چنین مشکلاتی، ژئوشیمی سنگ‌های رسوبی همچنان به عنوان ابزاری قوی برای استنتاج جایگاه زمین‌ساختی حوضه‌های رسوبی قدیمه استفاده می‌شود [۱۶].



شکل ۱۰. نمودارهای پیشنهادی باتیا [۹] بر اساس درصد اکسیدهای عناصر اصلی؛ OIA: جزایر کمانی اقیانوسی، CIA: جزایر کمانی قاره‌ای، ACM: حاشیه فعال قاره‌ای، PM: حاشیه غیرفعال. بر اساس این نمودارهای پیشنهادی، نمونه‌های سازند سرخ بالایی در محدوده جزایر کمانی قاره‌ای تا حواشی فعال قاره‌ای تشکیل شده‌اند.



شکل ۱۱. نمودار تفکیک کننده دو بعدی پیشنهادی روسرب و کروش [۳۷]. این نمودار جایگاه زمین‌ساختی حاشیه فعال قاره‌ای را برای نمونه‌های سازند سرخ بالایی پیشنهاد می‌کند.

- sedimentary components. *J Sediment Geol*, 1987;57: 813-23.
- [6] Armstrong-Altrin, J.S., Lee, Y.I., Verma, S.P., Ramasamy, S (2004) Geochemistry of sandstones from the Upper Miocene Kudankulam Formation, southern India: Implications for provenance, weathering, and tectonic setting. *Journal of Sedimentary Research*. 74, 285-297.
- [7] Armstrong-Altrin, J.S., Surendra P.V (2005) Critical evaluation of six tectonic setting discrimination diagrams using geochemical data of Neogene sediments from Knownen tectonic settings. *Sedimentary geology* 177: 115-129.
- [8] Bahlburg, H (1998) The geochemistry and provenance of Ordovician Turbidites in the Argentine Puna. In: Panhurst RJ, Rapela CW, editors. *The proto-andean margin of Gondwana*. Geol Soc London, Spec Paper, Vol. 142: 127-42.
- [9] Bhatia, M.R (1983) Plate tectonic and geochemicalcomposition of sandstones. *J Geol*; 91: 611-27.
- [10] Bhatia, M.R., Crook, K.A.W (1986) Trace elemen characteristics of graywackes and tectonic discrimination of sedimentary basins: *Contrib. Mineral. Petrol.*, v. 92: 181-193.
- [11] Bhatt, M.I., Ghosh, S.K (2001) Geochemistry of 2.51Ga old Rampur Group pelites, western Himalayas: Implications from their provenance and weathering, *Precambrian Research*, 108: 1-16.
- [12] Blatt, H., Middleton, G., Murray, R (1980) *Origin of Sedimentary Rocks* [M], 2nd edition, Prentice-Hall, New Jersey: 782 p.
- [13] Crook, K.A.W (1974) Lithogenesis and geotectonics: The significance of compositional variation in flysch arenites (greywackes) [J]. *Society of Economical, Paleontological and Mineralogical Special Publications*. 19: 304-310.
- [14] Cullers, R.L., Podkorytov, V.M (2000) Geochemistry of the Mesoproterozoic Lakhanda shales in southeastern Yakutia, Russia: Implications for mineralogical and provenanace, and recycling, *Precambrian Research*, 104: 77-93.
- [15] Diskin, S., Evans, J., Fowler, M.B., Guion, P.D (2011) Recognizing Different Sediment Provenance wihtin a Passive margin setting: towards characterising a sediment Source to the west of the British late Carboniferous sedimentary basins, *Chemical Geology* 283: 143-160.
- [16] Dozy, J. J (1955) A sketch of post-Cretaceous volcanism in central Iran. *Leid. Geol. Med.*, 20: 48-57.

نتیجه‌گیری

بر اساس نتایج حاصل از بررسی‌های پتروگرافی، دانه‌شماری و ژئوشیمی، ترکیب یکنواخت لیت‌آرنايت برای ماسه‌سنگ‌های توالی مورد مطالعه سازند سرخ بالای تشخیص داده شد. توالی مورد مطالعه با خاصت ۲۲۰ متر شامل ۱۰ لایه ماسه‌سنگی است که یک لایه آن سدآرنايت بوده و ۹ لایه دیگر ولکانیک‌لیت‌آرنايت می‌باشند. لایه سدآرنایتی از نوع کالکلیتایت می‌باشد و لایه چهارم برش از عمق به سطح است. منشا رسوبات آهکی این لایه با توجه به شواهد خردۀ‌های فسیلی (شکل ۴، B, C)، سازند قم می‌باشد که احتمالاً حاصل چرخه‌های مجدد رسوبات رودخانه‌ای است. میان لایه‌های مارنی این ماسه‌سنگ‌ها درصد ژپس بالای داشته و گاهی رنگ روشنی دارند. بر اساس مطالعات ژئوشیمیایی و نمودارهای پیشنهادی مورد استفاده، سنگ منشا غالب این ماسه‌سنگ‌ها، سنگ آذرینی با ترکیب حد واسط می‌باشد که ترکیب شیمیایی آن مشابه حد واسط پوسته قاره‌ای فوقانی و پوسته قاره‌ای تحتانی است. احتمالاً هوازدگی نسبتاً ضعیف این سنگ منشا در اقلیم دیرینه با آب و هوای خشک تا نیمه خشک و توپوگرافی مرتفع بوده است. محیط تکتونیکی پیشنهادی برای جایگاه زمین‌ساختی ماسه‌سنگ‌های سازند سرخ بالای، حواشی فعال قاره‌ای است که باعث شده رسوبات در چرخه اول رسوب‌گذاری و با بلوغ پایین نهشته شوند.

منابع

- [۱] آقانباتی، ع (۱۳۸۳) زمین‌شناسی ایران، سازمان زمین‌شناسی و اکتشافات معدنی کشور، ص ۵۸۶.
- [۲] عباسی، ن امینی، ع (۱۳۸۷) اثرشناسی ردپای پستانداران میوسن در سازند سرخ بالای، برش آیوانکی، خاور تهران، مجله علوم زمین، شماره ۳۷، ص ۵۴-۶۷.
- [۳] قبادی، م.ح.، رفیعی، ب، حیدری، م، موسوی، س، اسفندیاری، س (۱۳۹۳) ژئوشیمی و خاستگاه ماسه‌سنگ‌های سازند آغازگاری در استان خوزستان، مجله رسوب‌شناسی کاربردی، جلد ۳، ص ۴۸-۶۱.
- [۴] Amini, A (1997) Provenance and Depositional Environment of the Upper Red Formation, Central Zone Iran. Ph.D. thesis, Manchester University, 320 p.
- [۵] Argast ,S., Donnelly, T.W (1987) The chemical discrimination of clastic

- [29] Miall, A.D (2006) The Geology of Fluvial Deposits: Sedimentary Facies, Basin Analysis and Petroleum Geology: Springer-Verlag: 582 p.
- [30] Milodowski, A.E., Zazalasiewicz, J.A (1991) Redistribution of rare earth elements during diagenesis of turbidite/hemipelagic mudrock sequences of Liandovery age from central Wales. In: Morton AC, Todd SP, Haughton PDW, editors.
- [31] Mishra, M., Sen, S (2012) Provenance, tectonic setting and source-area weathering of Mesoproterozoic Kaimur Group, Vindhyan Supergroup, Central India. *Geologica Acta*, Vol.10: p 283-293.
- [32] Nesbitt, H.W., Young, G.M (1982) Early Proterozoic climates of sandstone mudstone suites using SiO₂ content and K₂O/Na₂O ratio [J]. *Nature*. 299: 715-717.
- [33] Pettijohn, F.J (1975) "Sedimentary rocks", 3rd edn. Harper and Row, New York.
- [34] Pettijohn, F.J., Potter, P.E., Siever, R (1972) Sand and Sandstone. Plate motions inferred from major element chemistry of lutites [J]. *Precambrian Research*. 147: 124-147.
- [35] Ramos, A., Galloway, W.E (1990) Facies and sand-body geometry of the Queen City (Eocene) tide-dominated delta-margin embayment, NW Gulf of Mexico basin. *Sedimentology*. 37: 1079-1098.
- [36] Ronov A.B., Yaroshevsky, A.A (1969) Chemical composition of the Earth's crust. In: Hart PJ (ed) The earth's crust and upper mantle, geophysical monograph, vol 13. American Geophysical Union, Washington, DC: 37-57.
- [37] Roser, B.P., Korsch, R.J (1986) Determination of tectonic setting of sandstone mudstone suites using SiO₂ content and K₂O/Na₂O ration [J]. *Journal of Geology*. 94: 635-650.
- [38] Roser, B.P., Korsch, R.J (1988) Provenance signature of sandstone-mudstone suite determined using discriminant function analysis of major element data. *Chemical Geology* 67: 119-139.
- [39] Rudnick, R.L., Fountain, D.M (1995) Nature and composition of the continental crust: a lower crustal perspective. *Rev Geophys* 33: 267-309.
- [40] Shaw, D.M (1968) A review of K-Rb fractionation trends by covariance analysis [J]. *Geochimica et Cosmochimica Acta*. 32: 573-602.
- [41] Soder, P (1951) The Oligo-Miocene marine formation in the Qum region. NIOC, Geol. Report, No: 123 p.
- [42] Stahl, A.F., von (1911) Persian, Hndbch. Reg. Geol. 5(6): 1-46.
- [17] Eriksson, L.H., Eriksson, P.G., Condé, K.C., Tirsgaard, H., Muellwe, W.U., Altermann, W., Miall, A., Daspler, L.B (1998) Precambrian clastic sedimentation systems, *Sedimentary Geology* 120: 5-53.
- [18] Folk, R.L (1980) Petrography of sedimentary rocks. Hemphill Publishing Company: 182 p.
- [19] Grantham, J.H., Velbel, M.A (1988) The influence of climate and topography on rock fragment abundance in modern fluvial sands of the southern Blue Ridge Mountains, North Carolina. *Journal of Sedimentary Petrology*. 58: 219-227.
- [20] Gansser, A (1955) New aspects of the geology in central Iran. Fourth World Petroleum Congress, section I/A/5. Reprint 2: 280-300.
- [21] Hayashi, K., Fujisawa, H., Holland, H.D., Ohmoto, H (1997) Geochemistry of 1.9 Ga sedimentary rocks from northeastern Labrador, Canada [J]. *Geochimica et Cosmochimica Acta*. 61: 4115-4137.
- [22] Herron, M.M (1988) Geochemical classification of terrigenous sands and shales from core or log data [J]. *Journal of Sedimentary Petrology*. 58: 820-829.
- [23] Ingersoll, R.V., Bullard, T.F., Ford, R.L., Grimm, J.P., Pickle, J.D., Sares, S.W (1984) The effect of grain size on detrital modes: A test of the Gazzi-Dickinson point - counting method. *Journal of Sedimentary Petrology*, 54: 103-116.
- [24] Lahtinen, R (2000) Archaean-Proterozoic transition: geochemistry, provenance and tectonic setting of metasedimentary rocks in central Fennoscandian Shield. Finland. *Precambrian Research* 104(3-4): 147-174.
- [25] Loftus, W (1855) On geology of portions of the Turco-Persian frontier and of the districts adjoining. *Q. J. Soc. Lond.* 11(1): 247-245.
- [26] McLennan, S.M., Hemming, S., McDaniel, D.K., Hanson, G.N (1993) Geochemical approaches to sedimentation, provenance, and tectonics. In: Johnsson MJ, Basu A, editors. Processes controlling the composition of clastic sediments. *Geol Soc Am Spec Pap*, vol. 284: 21-40.
- [27] McLennan, S.M., Taylor, S.R., McCulloch, M.T., Maynard, J.B (1990) Geochemical and Nd-Sr Isotopic composition of deep-sea turbidites: crustal evolution and plate tectonic associations. *Geochim cosmochim Acta*; 54: 2015-50.
- [28] Miall, A.D (1994) Reservoir heterogeneities in fluvial sandstones: lessons from outcrop studies. *American Association of Petroleum Geologists Bulletin*. 72: 682-697.

- [43] Taylor, S.R., McLennan, S.M (1985) The continental crust: its composition and evolution. Blackwell Scientific Publication, Carlton: 312 p.
- [44] Tucker, M.E (2001) Sedimentary Petrology: an introduction to the origin of sedimentary rocks, Blackwell Scientific Publication: 260 p.
- [45] Wedepohl, K.H (1995) The composition of the continental crust. *Geochim Cosmochim Acta* 59: 1217-1232.
- [46] Weltje, G.J (1994) Provenance and dispersal of sand-sized sediments: Reconstruction of dispersal patterns and sources of sand-sized sediments by means of inverse modelling techniques. *Faculteit Aardwetenschappen, Universiteit Utrecht*. 121: 1- 28.
- [47] Yanagi, T (2011) Generation of continental crust from the mantle. Springer:123 p.